

06.2;06.3;07

©1994

# ЭЛЕКТРИЧЕСКИЕ И ОПТИЧЕСКИЕ СВОЙСТВА АМОРФНОГО УГЛЕРОДА, ЛЕГИРОВАННОГО МЕДЬЮ

*В.И.Иванов-Омский, М.И.Абаев, С.Г.Ястrebов*

Ранее сообщалось о наблюдении в легированном медью аморфном алмазоподобном углероде особенностей поведения динамической магнитной восприимчивости, характерной для ВТСП [1]. В настоящей работе приводятся результаты изучения высокочастотных диэлектрических свойств совместно с электропроводностью на постоянном токе легированного медью алмазоподобного углерода, которые позволяют обнаружить ряд особенностей электронных явлений в этом материале. Комплексная диэлектрическая проницаемость рассчитывалась по оптическим постоянным, определенным эллипсометрическим методом. Эллипсометрические исследования выполнены на частоте гелий-неонового лазера ( $\lambda = 632.8$  нм). Метод измерения и расчеты описаны в [2,3].

Слои изготавливались плазменным сораспылением графитовой и медной мишней в аргоновой и аргон-водородной плазме (20% H<sub>2</sub> + 80% Ar). Соответственно были приготовлены две серии пленок аморфного углерода  $\alpha$ -C:(Cu) и  $\alpha$ -C:(H, Cu) на подложках из плавленого кварца. Температура подложек была порядка 150° С при давлении газа в ростовой камере 10<sup>-4</sup> Тор. Мощность магнетрона поддерживалась на уровне 0.4–0.5 кВт. Энергия ионов Ar<sup>+</sup> была порядка 100–300 эВ. Типичная толщина слоев — 50–400 нм. Концентрация меди рассчитывалась по соотношениям поверхностей графитовой и медной мишней. Контрольные исследования содержания меди методами вторичной ионной масс-спектрометрии показали удовлетворительное согласие с расчетной концентрацией меди.

На рис. 1 и 2 представлены электропроводность, мнимая и действительная части диэлектрической проницаемости как функции концентрации меди для двух серий образцов, отличающихся составом плазмы, использованной для распыления. Проводимость нелегированных слоев  $\alpha$ -C, напыленных в чисто аргоновой плазме (аргоновая серия), существенно выше проводимости образцов, напыленных в аргон-водородной плазме (аргон-водородная

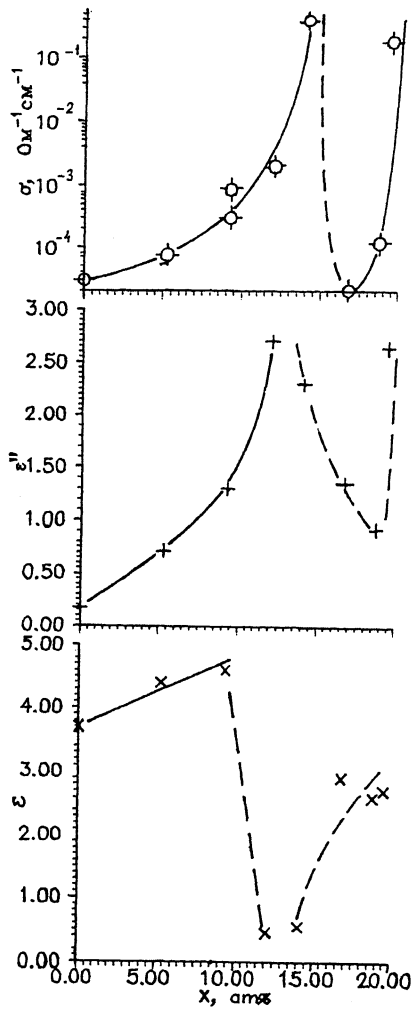


Рис. 1. Зависимость электропроводности (а), мнимой (б) и действительной частей диэлектрической проницаемости слоя аморфного углерода от содержания  $x$  в нем меди для аргоновой серии.

серия), где имеет место гидрогенизация углерода с образованием  $\alpha$ -С:Н. Известно, что проводимость  $\alpha$ -С:Н лежит в пределах  $10^{-10} - 10^{-16}$   $\Omega^{-1} \cdot \text{см}^{-1}$ , что соответствует структуре, в которой проводящие кластеры, имеющие структуру графита, изолированы друг от друга [4]. Отсутствие водорода в плазме ведет к существенному увеличению количества  $sp^2$ -гибридизованных атомов С, в результате чего раз-

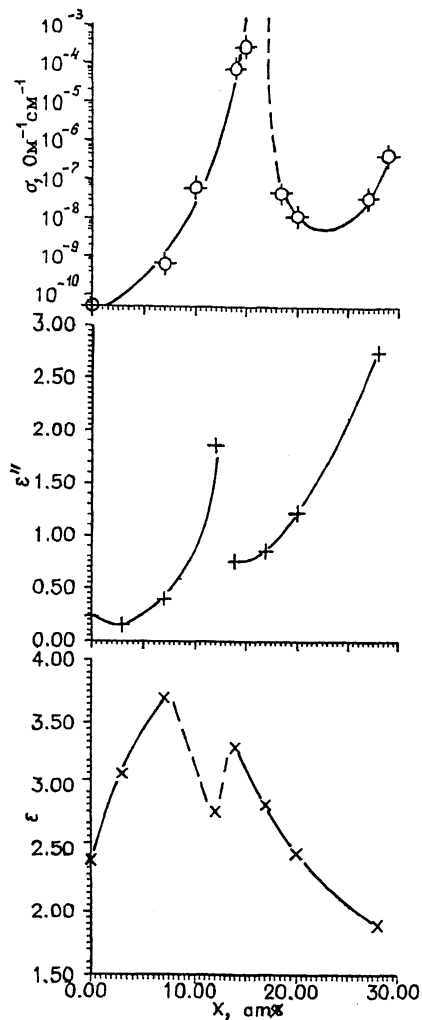


Рис. 2. То же, что и на рис. 1, для аргон-водородной серии.

меры графитовых кластеров и их концентрации существенно возрастают, вызывая резкий рост проводимости. Рост проводимости с увеличением концентрации меди в образцах обеих серий свидетельствует о способности меди формировать проводящие кластеры в алмазоподобной диэлектрической матрице и каналы протекания между ними. При содержании меди  $x$  более 12 ат % проводимости образцов обеих серий становятся близки. При  $x = 12 - 14\%$  для аргоновой серии и 15–18% для аргон-водородной наблюдается

асимметричный максимум проводимости. При дальнейшем росте концентрации меди проводимость резко падает.

Рост проводимости при  $x < 14\%$  может быть объяснен формированием в алмазоподобной матрице сети протекательных каналов на основе графитоподобных проводящих кластеров. При этом возможно как заполнение медью зазоров между фрагментами графитовых плоскостей (интеркаляция), так и расположение ее на свободных местах по краям этих фрагментов. В последнем случае медь может образовывать связывающие мостики между соседними кластерами ввиду ее двухвалентности. При  $x > 16\%$  происходит, по-видимому, некая структурная перестройка сети проводящих каналов, ведущая к резкому падению проводимости. Дальнейший рост проводимости представляется естественным. Область наибольшей проводимости соответствует стехиометрическому составу пленки в интервале  $\text{CuC}_8-\text{CuC}_6$ . Последняя формула характерна для интеркалирования бесконечной графитовой плоскости [5]; соответственно меньшие по размерам плоскости могут удерживать меньшее количество меди. В пределе для единичного бензольного кольца получаем формулу  $\text{CuC}_6$ . Таким образом, перестройка сети протекательных каналов возникает, когда все позиции для интеркалирования графитовых фрагментов исчерпаны.

Обратимся теперь к анализу диэлектрической проницаемости. Нетрудно обнаружить глубокую корреляцию между зависимостями от концентрации меди проводимости на постоянном токе и минимой диэлектрической проницаемости, выражющуюся в подобии кривых. В случае однородного проводника такого и следует ожидать согласно фундаментальному соотношению электродинамики

$$\varepsilon'' = \text{Im}\varepsilon = \frac{\sigma}{\varepsilon_0\omega} = \frac{\sigma_0}{\varepsilon_0\omega(1 + \omega^2/\gamma^2)} = \gamma \frac{\omega_p^2}{\omega(\omega^2 + \gamma^2)}, \quad (1)$$

где  $\sigma_0 = \frac{e^2 N}{\gamma m}$  — проводимость на постоянном токе,  $\omega_p^2 = \frac{e^2 N}{m\varepsilon_0}$  — квадрат плазменной частоты,  $\omega$  — частота излучения,  $\gamma$  — обратное время релаксации импульса. Подобие кривых  $\varepsilon'(x)$  и  $\delta_0(x)$  может иметь место при условии, что  $\gamma$  слабо зависит от концентрации меди, либо на частотах  $\frac{\omega^2}{\gamma^2} \ll 1$ . Проблема, однако, состоит в том, что медь, как и другие элементы подгруппы  $I^B$ , не образует устойчивых химических соединений и непрерывного ряда твердых растворов с углеродом; следовательно, система Cu-C не может рассматриваться как однородная. Модель протекания тока по проводящим кластерам, погруженным в диэлектрическую матрицу алмазоподобного углерода, привлекаемая

нами для описания электропроводности, подразумевает гетерогенную природу исследуемого материала. Воспользуемся для описания диэлектрических свойств такой гетерогенной системы, содержащей  $x$  молярных долей проводящей компоненты, моделью эффективной среды, согласно которой диэлектрическая проницаемость может быть представлена в виде

$$\varepsilon' = \text{Re}\varepsilon = (1 - x)\varepsilon'_M + x\varepsilon'_C = \varepsilon - X \frac{\omega_p^2}{\omega^2 + \gamma^2}; \quad (2)$$

$$\varepsilon'' = \text{Im}\varepsilon = (1 - x)\varepsilon''_M + x\varepsilon''_C = x\gamma \frac{\omega_p^2}{\omega(\omega^2 + \gamma^2)}, \quad (3)$$

где  $\varepsilon$  — высокочастотная диэлектрическая постоянная системы, индексы М и С относятся соответственно к матрице и проводящей компоненте. В уравнении (3) мы пренебрегали мнимой частью диэлектрической проницаемости среды  $\varepsilon''_M$  ввиду ее малости, следующей из рис. 1 и 2. Обратная корреляция между  $\varepsilon'$  и  $\varepsilon''$ , наблюдаемая в эксперименте, следует из уравнений (2) и (3). Если их объединить подстановкой (3) в (2), получим

$$\varepsilon' = \varepsilon - \frac{\gamma}{\omega} \varepsilon'' \quad (4)$$

Пику и росту  $\varepsilon''$  соответствует провал и падение  $\varepsilon'$  с изменением концентрации меди. Более строгая корреляция особенностей  $\varepsilon'(x)$  и  $\varepsilon''(x)$  по сравнению с  $\delta(x)$  может объясняться тем, что образцы для электрических и эллипсометрических измерений готовились в разных технологических сериях и благодаря погрешностям определения концентрации могут отличаться по составу на 1–1.5 ат %. Обращает на себя внимание рост  $\varepsilon'(x)$  при малом содержании меди для обеих серий образцов, не предсказываемый уравнениями (2) и (3). Можно поэтому полагать, что такой ход  $\varepsilon'(x)$  отражает влияние меди на микроструктуру углеродной матрицы и тем самым на величину  $\varepsilon'_M$ . Медь, подобно водороду, изменяет соотношение количества  $sp^3$ - и  $sp^2$ -гибридизированных атомов, увеличивая концентрацию первых, причем делает это более эффективно, чем водород, будучи двухвалентной. Таким образом, при малых концентрациях меди (менее 6% для аргон-водородной и 9% для аргоновой серий) медь увеличивает алмазоподобие аморфного углерода, по крайней мере если говорить о диэлектрической проницаемости. Довольно резкий провал при дальнейшем росте концентрации

Параметры проводящих кластеров

| Наименование<br>серии | Концентрация<br>меди, ат. % | $\omega_p$ , с <sup>-1</sup> | $\gamma$ , с <sup>-1</sup> |
|-----------------------|-----------------------------|------------------------------|----------------------------|
| Аргоновая             | 12                          | $1.2 \cdot 10^{16}$          | $1.8 \cdot 10^{15}$        |
| Аргон-<br>водородная  | 15                          | $1.7 \cdot 10^{16}$          | $4.4 \cdot 10^{15}$        |

меди связан с возрастающим вкладом второго члена в уравнении (2).

В области пика  $\varepsilon''$  вклад проводящей компоненты является доминирующим  $\varepsilon_C'' >> \varepsilon_M''$ , и мы воспользуемся уравнениями (2) и (3) для оценки ее параметров. Экстраполируя ход  $\varepsilon'(x)$  со стороны малых  $x$  на состав, соответствующий максимуму  $\varepsilon''(x)$ , можно получить необходимую для оценки величину  $\varepsilon$  в уравнении (2). Тогда совместное решение уравнений (2) и (3) для составов, соответствующих максимуму  $\varepsilon''$ , дает оценки для величин  $\omega_p$  и  $\gamma$ , которые представлены в таблице.

Грубость модели не позволяет придавать особое значение различию параметров обеих серий. С другой стороны, сравнительно высокое значение отношения  $\frac{\omega_p}{\gamma}$  свидетельствует о том, что плазменные колебания достаточно хорошо сформированы. Близость величин оценок  $\omega_p$  обеих серий говорит о том, что природа проводящих кластеров слабо зависит от состава плазмы при распылении. Тот факт, что величина  $\omega_p$  проводящих кластеров близка к плазменной частоте чистой меди ( $\omega_p = 1.35 \cdot 10^{16}$  [6]), позволяет заключить, что медь химически не взаимодействует с углеродом при образовании кластеров, аналогично Ag и Au [7].

Таким образом, совместные исследования электрических и диэлектрических свойств алмазоподобного углерода, легированного медью в условиях плазменного сораспыления графита и меди, позволило наблюдать резко немонотонный ход проводимости на постоянном токе, мнимой и действительной частей диэлектрической проницаемости, как функций концентрации меди. Такая зависимость может быть связана с перестройкой структуры проводящих каналов при концентрации меди 12–18 ат %. Медь не только образует проводящие кластеры, но и влияет на структуру матрицы. Отсутствие существенных различий образцов, напыленных в аргоновой и аргон-водородной плазме, свидетельствует о том, что медь играет в формировании

алмазоподобной структуры роль, сходную с ролью водорода.

Работа выполнена в рамках Межотраслевой научно-технической программы России "Фуллерены и атомные кластеры". Авторы признательны Н.Е. Базиевой за изготовление образцов и электрические измерения.

Авторы благодарны также Министерству обороны США за частичную финансовую поддержку этой работы.

### Список литературы

- [1] Аверьянов В.Л., Базиева Н.Е., Мастеров В.Ф., Приходько А.В., Ястребов С.Г. // Письма в ЖТФ. 1993. Т. 19. В. 12. С. 77-79.
- [2] Аверьянов В.Л., Федоров В.А., Ястребов С.Г. // ЖТФ. 1994. Т. 64. В. 1. С. 103-117.
- [3] Пшеницын В.И., Абаев М.И., Лызлов М.Ю. Эллипсометрия в физико-химических исследованиях. Л., 1986. 152 с.
- [4] Angus J.C., Hayman C.C. // Science. 1988. V. 241. P. 877-1016.
- [5] Braga D., Ripamonti A., Savola D., Trombini C., Umani-Ronchi A. // J.C.S. Chem. Comm. 1978. V. 21. P. 927.
- [6] Johnson P.B., Christi R.W. // Phys. Rev. B. 1972. V. 6(2). P. 4370.
- [7] Klages C.P., Memming R. // Materials Science Forum. 1990. V. 52-53. P. 609-644.

Физико-технический  
институт им. А.Ф. Иоффе  
Санкт-Петербург

Поступило в Редакцию  
15 сентября 1994 г.